

تهیه نقشه حساسیت پذیری سیلاب با رویکرد مبتنی بر AHP-GIS؛ مطالعه موردی: حوزه آبخیز الموت رود

محمدحسن نامی*، مریم رستمی**

۱۴۰۲/۰۲/۰۴

۱۴۰۲/۰۳/۰۶

تاریخ دریافت مقاله:

تاریخ پذیرش مقاله:

چکیده

نقشه حساسیت به سیلاب اقدامی نرم یا غیرسازه‌ای و منبعی جامع برای پیش‌بینی و جلوگیری از آثار مخرب سیلاب در سراسر جهان بهویژه در مناطقی با پیشینه وقوع سیلاب‌های مکرر، است. این نقشه‌ها برای بسیاری از حوزه‌های آبخیز کشورهای در حال توسعه تاکنون تهیه نشده و وجود ندارند. از آنجایی که هنوز درک درستی از عوامل اصلی ایجادکننده سیلاب وجود ندارد، بنابراین این مخاطره همچنان به عنوان یک مشکل حل نشده در سطح جهان باقی مانده است. این تحقیق با بهره‌گیری از فرایند تحلیل سلسه‌مراتبی (AHP) و نرم‌افزار ArcGIS Pro پاسخی به برخی پارامترهای ایجادکننده سیلاب و آثار آن بر حساسیت به سیلاب در حوزه آبخیز الموت رود ارائه می‌دهد. بدین منظور ابتدا مجموعاً چهار پارامتر به عنوان عوامل مؤثر بر وقوع سیلاب در این حوضه به ترتیب فاصله از رودخانه، بارندگی سالیانه، شیب و کاربری اراضی، در سامانه اطلاعات جغرافیایی آماده‌سازی شده و پس از ایجاد ماتریس زوجی و انجام رتبه‌بندی، درنهایت وزن نهایی عوامل تهیه شدند. از ترکیب همه این پارامترهای ایجادکننده سیلاب بر اساس وزن و رتبه آن‌ها، نقشه پهنه‌بندی خطر سیلاب به دست آمد. بر این اساس منطقه موردمطالعه به پنج پهنه خطر طبقه‌بندی شده است. $7/3$ درصد و سمعت حوضه به ترتیب در پهنه‌های خطر خلی زیاد و خطر زیاد قرار گرفته است. این نقشه نسبت به داده‌های سیلاب تاریخی گردآوری شده در منطقه موردمطالعه و بهره‌گیری از روش ارزیابی آماری ماتریس درهم‌ریختگی، به‌طور دقیق ارزیابی شد و نتایج مؤید دقت بالای نقشه تولید شده است. یافته‌های این تحقیق می‌توانند در پیدا کردن درک مناسبی از مشکل فعلی سیلاب در این حوضه، شناسایی علل واقعی آن و برنامه مدیریت آب سودمند واقع گردد.

کلمات کلیدی: پهنه‌بندی خطر، سیلاب، الموت رود، AHP، Arc GIS.

* دانشیار، گروه جغرافیای سیاسی، دانشکده جغرافیا، دانشگاه علوم و فنون فارابی، تهران، ایران. Dr.mh.nami@gmail.com

** استادیار، مرکز بین‌المللی تاب‌آوری شهری، پژوهشکده سوانح طبیعی، تهران، ایران.

مقدمه

مخاطرات طبیعی از قبیل زمین‌لغزش، زلزله، سیل و غیره هرساله منجر به خسارت‌های مالی و جانی گسترده‌ای در نقاط گوناگون جهان و کشور ما می‌شوند. در میان بلایای طبیعی، سیلاب یکی از جدی‌ترین پدیده‌ها و رخدادهای هیدرواقلیمی است که به‌طور مکرر سالانه خسارات قابل توجهی را در سراسر جهان بر جای می‌گذارد؛ ارزیابی دقیق خطرات این بلای ویرانگر به علت کمبود دانش و اطلاعات در مورد تلفات ناشی از آن، در مقیاس‌های مختلف اغلب با شکست موواجه است (Al-Suhili & Cullen, 2019; Das, 2018; Winsemius et al., 2016; Wang et al., 2010; Yahaya et al., 2010). تغییر در فرکانس و بزرگی سیلاب‌های جهان طی سالیان اخیر یکی از تأثیرات گرمایش جهانی است (Hirabayashi et al., 2013) که بر سیستم کنترل سیلاب در پایین‌دست اثر می‌گذارد (Yang et al., 2006). تغییر اقلیم باعث وقوع مشکلاتی از قبیل سیلاب و درنتیجه آن، افزایش ناگهانی آب و بروز خطرات ناشی از آن در سطح حوضه‌ها، به‌خصوص در دشت‌های سیلابی و مناطق مجاور رودخانه‌ها به‌عنوان فضاهای مناسب برای انجام فعالیت‌های اقتصادی و اجتماعی و درنتیجه مستعد خسارات بالا، می‌شود (ESCAP, 2019). در ایران به علت آب‌وهوامتنوع، دما و بارندگی‌های متغیر در بیشتر حوضه‌ها، به‌خصوص در مناطق شمالی کشور، هرساله شاهد سیلاب‌های متعددی هستیم. سیل‌گیری از مهم‌ترین پدیده‌های هیدرواکولوژیک طبیعت است که در هر دوره منجر به وارد شدن خسارت‌هایی به دستاوردهای بشری می‌شود (Yang et al., 2006).

سیل‌گیری عبارت از سرریز شدن آبی است که سبب غرق شدن زمین‌های اطراف و حاشیه می‌شود؛ به‌طوری که در هنگام بارش باران سنگین، میزان تخلیه

جريان در یک رودخانه به سرعت افزایش یافته و سطح آب از سطح نرمال بالا می‌رود و دشت سیلابی و اطراف آن را پوشش داده و موجب وقوع سیلاب‌های خسارت‌بار به زمین‌های کشاورزی، مناطق شهری و نیز تلفات جانی می‌شود. سیل‌گیری همچنین سبب ایجاد خسارت‌های جدی به حمل و نقل، میراث فرهنگی، اکوسیستم‌های طبیعی، اقتصاد و زندگی انسان می‌شود. روند رو به افزایش سیلاب در سال‌های اخیر حاکی از افزایش ابعاد خسارات و تلفات جانی و مالی ناشی از آن در نقاط مختلف کشور است؛ به‌طوری‌که به‌عنوان مثال بارش‌های اواخر اسفند ۱۳۹۷ و اوایل فروردین ۱۳۹۸ خود به‌نهایی منجر به ایجاد سیلاب در استان‌های مختلف شد و ۲۵ استان، ۲۰۰ شهر و بیش از ۴۴۰۰ روستا در معرض سیلاب قرار گرفتند و خسارات سنگینی به زیرساخت‌های مسکن، کشاورزی، حمل و نقل، آب و فاضلاب، برق، نفت و گاز و بهداشت و درمان کشور وارد شد. استان‌های خوزستان، لرستان، گلستان، ایلام، کرمانشاه و مازندران، بیشترین خسارت‌ها را متحمل شدند. بر اساس برآورد PDNA¹، ایران در اثر سیل سال ۲۰۱۹ در مناطق منتخب تلفات و خسارتی بالغ بر ۱/۴۷۰ میلیارد دلار متحمل شده است. بخش مسکن با برآورد ۴۱۳/۳۲ میلیون دلار بیشترین ضرر را متحمل شده و پس از آن کشاورزی، شیلات و دامپروری (۳۷۹/۲۰ میلیون دلار آمریکا)، حمل و نقل (۲۰۹/۷۵ میلیون دلار)، آب، بهداشت و درمان (۱۶۸/۹۵ میلیون دلار آمریکا) قرار دارند. به بخش اشتغال و معیشت ۱۳۵/۹۱ میلیون دلار خسارت وارد شده است. مجموع مبلغ موردنیاز برای بازسازی، ۱/۵۱۳ میلیارد دلار یعنی کمی بیشتر از میزان خسارات واردشده، برآورد گردید. مسکن (۷۰۹/۵۳ میلیون دلار آمریکا) در صدر فهرست و پس از آن مشاغل و معیشت (۱۹۷/۸۸ میلیون دلار

پیشگیری و کاهش سیلاب است (Dano, 2020; Wojtek, 2019)، که تهیه آن به ویژه برای مناطق سیل خیز ضروری است (Seejata et al., 2018). پنهانه‌بندی خطر سیلاب بخشی از اقدامات نرم و غیرسازه‌ای برای جلوگیری و کاهش آثار مخرب سیلاب است (Saaty, 1980). نقشه پنهانه‌بندی خطر سیلاب می‌تواند به منزله ابزاری مؤثر در برنامه‌ریزی مسیر توسعه آینده حوزه‌های آبخیز باشد و همچنین برای شناخت نواحی ای که نیازمند توسعه زیرساخت‌های تخلیه و زهکشی سیلاب هستند، استفاده شود (Büchele et al., 2016; Demir et al., 2006). از موارد کاربرد این نقشه‌ها می‌توان به تعیین بستر و حریم رودخانه‌ها، مطالعه و توجیه اقتصادی طرح‌های عمرانی، پیش‌بینی و هشدار سیلاب، عملیات امداد و نجات و بیمه سیلاب اشاره نمود (خلیلی‌زاده و همکاران ۱۳۸۴). همچنین از تطبیق نقشه‌های پنهانه‌بندی خطر سیل گیری با نقشه‌های کاربری اراضی می‌توان مناطق تحت خطر شامل شهرها، روستاهای پل‌ها، کارخانه‌ها و غیره را شناسایی کرد و سپس می‌توان از نتایج این تطبیق به منظور مقاوم‌سازی سازه‌ها در برابر خطر، اجتناب از مناطق تحت خطر و نیز برنامه‌ریزی به منظور مقابله با خطر و انجام اقدامات لازم برای حفاظت از این سرمایه‌ها استفاده کرد (دهقانی و همکاران ۱۳۹۵). در سال‌های اخیر به علت رشد جمعیت و پراکنش زمین‌ها در اطراف حریم رودخانه‌ها، ارزیابی سیلاب‌های منطقه‌ای به طور قابل توجهی گسترش یافته و به تبع آن روش‌های پیش‌بینی جدید نیز توسعه پیدا کرده است. در تهیه نقشه پنهانه‌بندی سیل گیری و آنالیز حساسیت آن، به معیارهای مختلفی نیاز است که باید ارتباط آن‌ها با موقع سیلاب بررسی شود. از این‌رو پیشرفت تکنولوژی سبب شده بشر در جست‌وجوی ابزار جدید و پیشرفته برای نیل به این

آمریکا)، آب، بهداشت و درمان (۱۷۳/۱۴ میلیون دلار آمریکا) و حمل و نقل (۱۶۵/۶۶ میلیون دلار آمریکا) قرار دارند (دهقانی و همکاران ۱۳۹۵). لازم به ذکر است خسارات غیرملموس از قبیل خسارات واردشده بر جنگل‌ها، مراتع، منابع خاک، محیط‌زیست و طبیعت ایران و خدمات اجتماعی سیلاب‌ها در این محاسبات وارد نشده است.

از مهم‌ترین عوامل تشدیدکننده خسارات ناشی از سیلاب، تغییر کاربری اراضی، توسعه ساخت‌وسازها و دخل و تصرف غیرمجاز در بستر و حریم رودخانه است. بنابراین تعیین بستر و حریم رودخانه و تهیه نقشه‌های پنهانه‌بندی سیلاب از لحاظ برنامه‌ریزی جهت مدیریت، پیش‌بینی و کاهش خطرات و خسارات ناشی از آن در این مناطق از اهمیت خاصی برخوردار است؛ چراکه در مدیریت سیلاب، برخی از این عوامل قابل کنترل هستند که در طرح‌های کنترل سیلاب بیشتر باید آن‌ها را مدنظر قرار داد. همان‌طور که پیش از این اشاره شد، سانجه سیلاب هر دوی تبعات طبیعی و انسانی را باعث می‌شود که درنتیجه آن‌ها، آسیب‌های اقتصادی و اجتماعی افزایش یافته و مناطق مسکونی و کشاورزی تحت تاثیر قرار می‌گیرند (Hong et al., 2018; Lagmay et al., 2017; Gigovic et al., 2017; Forkuo, 2011; Das, 2018). با این وجود هنوز هیچ راه حل واحدی از منظر طرح مدیریت سیلاب ارائه نشده و سیستم هشدار سیلاب همچنان روشنی دقیق جهت پیش‌بینی است (Montz & Gruntfest, 2002). بنابراین تعیین و شناسایی مناطق مستعد و خطرپذیر سیلاب برای مدیریت آب حوضه ضروری است (Ouma & Tateishi, 2014; Kazakis et al., 2015). نقشه حساسیت‌پذیری سیلاب ابزاری برای مدیریت مکانی آب جهت ارتقای استراتژی‌های

مهم باشد. بر این اساس فرایند تحلیل سلسله‌مراتبی (AHP) که توسط سالاتی^۲ توسعه داده شده (Saaty, 1980) به عنوان یکی از روش‌های تحلیل چند معیاره (MCAs)، یک روش تصمیم‌گیری کارآمد، مقرن‌به‌صرفه، سریع و راحت است که بر اساس آن متغیرها در یک ساختار سلسله‌مراتبی مرتب می‌شوند (Das, 2018; Kaliraj et al., 2014; Saaty, 1990) در حال حاضر تکنیک‌های سنجش از دور و سیستم اطلاعات جغرافیایی (GIS) به عناصر کلیدی برای فرایندهای تصمیم‌گیری چندمعیاره، به ویژه در مدیریت منابع آب تبدیل شده‌اند (Kaliraj et al., 2014).

MCA روشنی برای وزن دهی پارامترهای فیزیکی به طور منطقی در GIS است (Seejata et al., 2018). ترکیب MCA (روش AHP) و GIS در تحقیقات گوناگون در مورد مسائل مدیریت آب (Das, 2018; Rincón et al., 2018; Samanta et al., 2016) به ویژه در جنبه‌های مختلف از جمله شناسایی، مدیریت آب را در جنبه‌های ارزیابی و شیوه‌سازی مناطق مستعد سیل و آثار آن برای تهیه نقشه حساسیت‌پذیری سیلاب استفاده می‌شود. روش‌های AHP و GIS می‌توانند مشکلات مدیریت آب را در جنبه‌های مختلف از جمله شناسایی، ارزیابی و شیوه‌سازی مناطق مستعد سیل و آثار آن (Komi et al., 2016)، برای کاهش هزینه‌های جانی و مالی، به ویژه برای حوزه‌های آبخیز و شهرهای کشورهای در حال توسعه، حل کنند (Dano, 2020). در حوضه‌الموت رود نیز شاهد وقوع سیلاب‌های خسارت‌باری در منطقه الموت غربی و شرقی بوده‌ایم. با توجه به فراوانی وقوع سیلاب در این منطقه، برای جلوگیری از تلفات جانی و آسیب‌های اقتصادی و اجتماعی توجه به نقشه‌های حساسیت سیلاب ضروری می‌نماید. تهیه نقشه‌های پتانسیل سیلاب و توجه به اهمیت کاهش آثار آن یکی از اهداف اولیه مدیریت جامع حوزه‌های آبخیز است؛ بر این اساس بسیاری از

ادیبات موضوع

تاکنون پژوهش‌های مرتبط زیادی با هدف پنهان‌بندی خطر سیلاب با بهره‌گیری از رویکرد تحلیل سلسله‌مراتبی و سیستم اطلاعات جغرافیایی در سطح جهان و کشور صورت گرفته است که از آن جمله می‌توان به مطالعات پیشین زیر اشاره کرد.

تعیین مناطق مستعد سیلاب با استفاده از روش یکپارچه‌سازی داده‌های سنجش از دور و بهره‌گیری از GIS و AHP و با در نظر گرفتن معیارهای تجمع جریان، شبیب، کاربری اراضی، شدت بارش، زمین‌شناسی، نوع خاک، فاصله از زهکش، شاخص رطوبت توپوگرافی^۳ و ارتفاع در منطقه کریشنای یونان (Lappas & Kallioras, 2019)

تهیه نقشه حساسیت‌پذیری سیلاب با استفاده از داده‌های سنجش از دور، سیستم اطلاعات جغرافیایی و AHP در محدوده حوزه آبخیز آتلانتی در هند با بهره‌گیری از معیارهای شبیب، ارتفاع، شاخص رطوبت توپوگرافی، تراکم زهکشی، کاربری اراضی و پوشش زمین، فاصله از آبراهه‌ها، جهت، لیتوژوژی و بارش برای تهیه ماتریس زوجی و تعیین وزن عوامل

محققین داخلی و خارجی طی سال‌های اخیر با هدف ارزیابی عوامل هیدرولوژیکی با بهره‌گیری از ابزار مناسب به مطالعه و تهیه نقشه‌هایی برای مناطق مختلف پرداختند. در مطالعه پیش رو نقشه حساسیت سیلاب حوضه الموت رود با استفاده از فرایند تحلیل سلسله‌مراتبی (AHP) توسعه داده شده و ارزیابی شد و به سطوح مختلف خطر سیل، از نظر مکانی تقسیم‌بندی شد. این نقشه حساسیت به سیل برای هشدار سیل و مدیریت پایدار آب در این حوضه مفید خواهد بود و می‌تواند برای حوضه‌های دیگر کشور نیز تهیه و مورد استفاده قرار گیرد.

رگرسیون لجستیک و ماشین‌های بردار پشتیبان و یا با بهره‌گیری از روش‌های هیدرولوژیکی مختلفی از جمله مدل‌های بارش - رواناب (چون HEC-HMS، ANUGA، IHACRES و WBNM) به شناسایی نقاط سیل‌گیر و صحبت‌سنگی نتایج خروجی بر اساس اطلاعات سیالب‌های گذشته و پارامترهای مؤثر بر وقوع آن‌ها می‌پردازند. با توجه به ماهیت مدل‌های هیدرولوژیکی در مدل‌سازی بارش - رواناب می‌توان بیان داشت که مدل‌های مذکور برای تحلیل‌های جامع رودخانه‌ها و مناطق تحت مشکل سیالب‌گرفتگی، مناسب نیستند. از این‌رو، بسیاری از محققین برای مطالعات هیدرولوژیکی و سیل‌خیزی به استفاده از تجزیه و تحلیل‌های مکانی در قالب سیستم اطلاعات جغرافیایی (GIS) روی آوردند (تهرانی و همکاران ۲۰۱۴ و نبل و همکاران ۲۰۱۴). بنابراین روش‌های به کار برده شده به منظور بررسی و تعیین نقشه‌های پتانسیل سیالب، طی سال‌های اخیر شامل روش نسبت فراوانی، آنالیزهای چند متغیره آماری، WoE یا وزن معیارها در GIS، فرایند تحلیل سلسله‌مراتبی، روش ماشین‌بردار پشتیبان و درخت تصمیم‌گیری هستند (تهرانی و همکاران ۲۰۱۴). از این‌رو، با توجه به مطالب فوق و کمبود اطلاعات و داده‌های دارای کیفیت مناسب در اکثر حوزه‌های آبخیز کشور از جمله حوضه الموت رود، بهره‌گیری از این روش‌ها برای ارزیابی پتانسیل سیل‌خیزی حوزه‌های آبخیز بسیار حائز اهمیت است. بنابراین هدف از این مطالعه، پنهان‌بندی خطر سیالب در حوزه آبخیز الموت رود با استفاده از مدل تحلیل سلسله‌مراتبی و پشتیبانی سیستم اطلاعات جغرافیایی است.

روش تحقیق

مشخصات عمومی حوزه آبخیز دربرگیرنده روستا حوزه

. (Penki et al., 2022)

تهیه نقشه پتانسیل سیل‌گیری با استفاده از روش تصمیم‌گیری چند معیاره تحلیل سلسله‌مراتبی، تاپسیس و مدل آماری وزن واقعه (WOE) در شهرستان جهرم استان فارس با در نظر گرفتن ۹ عامل درجه شیب، شکل شیب، ارتفاع، شاخص رطوبت توپوگرافی، شاخص توان آبراهه، فاصله از رودخانه، کاربری اراضی، بارندگی و سنگ‌شناسی (رضوی و همکاران، ۱۳۹۷).

تجزیه و تحلیل و ریزپنهانی‌بندی خطر سیالب در شهر لامرد با استفاده از مدل تحلیل سلسله‌مراتبی، منطق فازی و تلفیق آن با امکانات سیستم اطلاعات جغرافیایی و با در نظر گرفتن ۸ معیار تأثیرگذار طبیعی (فاصله از آبراهه، زمین‌شناسی، شیب)، انسانی (شبکه معابر، پل‌های شهری، کاربری‌های مسکونی، کاربری‌های کشاورزی - جنگلی و قابلیت اراضی) (غلامی و احمدی، ۱۳۹۸).

پنهان‌بندی خطر سیالب با استفاده از GIS و AHP در حوزه آبخیز گلورد نکا (عقیلی و همکاران، ۱۳۹۷) و با بهره‌گیری از عوامل شیب، کاربری اراضی، ارتفاع از سطح دریا، ارتفاع رواناب، فاصله از رودخانه، بارندگی سالیانه، لیتولوژی و شماره منحنی برای ایجاد ماتریس زوجی و محاسبه وزن و ارجحیت معیارها.

ارزیابی آسیب‌پذیری منطقه یک شیراز در برابر خطر سیالب با استفاده از روش تصمیم‌گیری چند معیاره مبتنی بر سیستم اطلاعات جغرافیایی و رویکرد بهترین - بدترین مبتنی بر GIS برای ترکیب نقشه‌های معیار (کاربری اراضی، تراکم جمعیت، بافت فرسوده، شیب، شبکه آبراهه و فاصله از پل) و تولید وزن اولیه آن‌ها (قنبی نسب و همکاران، ۱۴۰۱).

لازم به ذکر است مطالعات بسیاری در سطح دنیا با استفاده از روش‌های ترکیبی مانند درخت تصمیم‌گیری،

آبیاری سنتی در دامنه‌های شیبدار اطراف روستاهای گسترش خانه‌سازی در مناطق مستعد خطر و از بین رفتن پوشش گیاهی خودرو، بخش‌های زیادی از مناطق مسکونی الموت مستعد وقوع سیلاب‌هایی با خسارات جانی و مالی و همچنین اختلال در شبکه آبرسانی، برق و گاز و ... شده‌اند.

خصوصیات اقلیمی حوضه

باتوجه به تعیین تیپ آب و هوایی حوزه آبخیز موردمطالعه بر اساس روش طبقه‌بندی کوپن، روش دمارتن و ضریب خشکی آن، روش طبقه‌بندی اقلیمی آمبرژه و نمودار آمبروترمیک و بررسی کلیماگرام منطقه، توسط مهندسین مشاور سوگرا ویژگی‌های اقلیمی زیر برای این منطقه ارائه می‌گردد.

فصل بهار و زمستان، فصول پرباران سال در منطقه هستند. بیشترین بارش منطقه به ترتیب مربوط به فصول بهار، زمستان، پاییز و تابستان با درصد بارش ۳۶/۰۹، ۳۴/۸۶، ۳۴/۳ و ۱/۷۵ نسبت به کل بارش سالانه است. منطقه از نظر دمایی تغییرپذیری بسیار کمتری نسبت به بارش داشته و دارای یک فصل بسیار سرد و یک فصل گرم است که طول مدت هرکدام باتوجه به میزان ارتفاع متغیر است. عواملی نظیر ارتفاع و جهت ناهمواری‌ها باتوجه به موقعیت کوهستانی و مرفع منطقه، نقش مهمی در آب و هوای محلی و اختلافات اقلیمی دارند. زمان، نوع و مقدار بارش برف و باران بسته به ارتفاع متغیر است، به‌طوری‌که بارش در ارتفاعات الموت‌رود بیشتر به شکل برف بوده که گاهی عمق آن به ۸۰ سانتی‌متر می‌رسد؛ در صورتی که در نواحی پست مقدار این نوع بارش کمتر و عمق آن از حدود ۳۰ تا ۴۰ سانتی‌متر فراتر نمی‌رود. علاوه بر این، طول مدت رویش گیاه و تراکم پوشش نیز از طبقه‌بندی سطوح

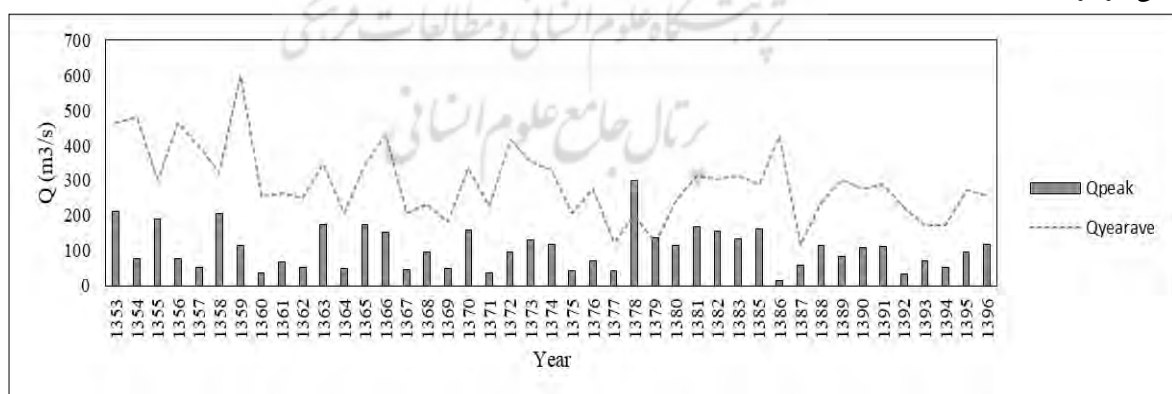
آبخیز الموت‌رود واقع در شمال شرقی قزوین، بخشی از حوزه آبخیز دریای خزر است که با تلاقی به رودخانه طالقان‌رود در ۱۱ کیلومتری جنوب شرق آبادی شهرک (در محلی بنام شیرکوه)، رودخانه شاهروド را تشکیل می‌دهد، رودخانه شاهرود هم به همراه رودخانه قزل‌اوzen سفیدرود را تشکیل می‌دهند. حوضه کاملاً منطبق با حدود و مرز بخش روبار الموت به مرکزیت معلم کلایه از توابع شهرستان قزوین بوده و بین طول‌های جغرافیایی ۵۰ درجه و ۲۳ دقیقه و ۱۹ ثانیه و ۵۰ درجه و ۵۲ دقیقه و ۱۷ ثانیه شرقی و بین عرض‌های جغرافیایی ۳۶ درجه و ۱۷ دقیقه و ۱۴ ثانیه و ۳۶ درجه و ۳۳ دقیقه و ۵۴ ثانیه شمالی واقع گردیده است. ارتفاع متوسط حوضه ۲۳۷۶ متر بوده و شیب‌های بیش از ۵۰ درصد بالغ بر ۷۲ درصد از سطح حوضه را به خود اختصاص می‌دهند. این حوضه کوهستانی با دینامیک بالای فرسایش رودخانه‌ای و آبی است. عده مساحت حوضه تحت پوشش بوته‌زار و گیاهان مرتعی متوسط تا تنک است. این حوضه دارای فیزیوگرافی خشن و پرشیب، گسترش وسیع تشکیلات حساس به فرسایش (تشکیلات آذرآورای پالائوژن و رسوبات تبخیری - تخریبی نئوژن) و ضعف پوشش گیاهی است که همین عوامل باعث شده این حوضه به عنوان حوضه‌ای با میزان فرسایش بالا در کشور قلمداد شود. الموت قزوین منطقه‌ای تاریخی است که به نظر می‌رسد از دوران اسماعیلیه تا زمان قاجار، زیستگاه و پناهگاه صخره‌ای امنی برای سکنه خود بوده است، اما حالا زیر پایش چنان خالی شده که امروز به عنوان یکی از مناطق حاد و مستعد بحران سیلاب و رانش مطرح است. در دهه‌های اخیر به دلیل توسعه فعالیت‌های کشاورزی و بهره‌گیری از روش‌های

نوسانات مقادیر دبی در طول سال و از سالی به سال دیگر متغیر است. به عنوان مثال براساس آمار دبی لحظه‌ای ایستگاه با غکلای- وزارت نیرو در سال آبی ۱۳۷۸ بین حداقل دبی $372/5$ مترمکعب در ثانیه و حداقل دبی $1/59$ مترمکعب در ثانیه، 371 واحد اختلاف وجود دارد. همچنین ملاحظه می‌شود، میزان دبی لحظه‌ای بسیار تغییرپذیر است، به طوری که بین 372 مترمکعب در ثانیه در فروردین ماه سال 1379 تا $2/17$ مترمکعب در ثانیه در فروردین ماه سال 1386 نوسان دارد. نکته دیگری که ذکر آن حائز اهمیت است، این است که امکان وقوع دبی‌های لحظه‌ای قابل توجه در تمام طول ایام سال وجود دارد. ذکر این نکته حائز توجه است، همان‌طور که در تصویر شماره 1 ملاحظه می‌شود می‌توان گفت روند تغییرات دبی متوسط سالانه بین سال‌های 1353 تا 1396 نزولی بوده درحالی که این روند در مورد دبی‌های پیک لحظه‌ای بر عکس است و این خود در کنار تأثیر فعالیت‌های انسانی از قبیل تغییر کاربری اراضی و تخریب پوشش گیاهی و افزایش ساخت‌وساز در حریم آبراهه‌ها و رودخانه‌ها دلیلی بر افزایش وقوع سیلاب و خسارات ناشی از آن در سال‌های اخیر است.

ارتفاعی تبعیت می‌کند، به طوری که در ارتفاعات این مقادیر کمتر و در نواحی کم ارتفاع و حواشی و بستر رودخانه بیشتر هستند.

هیدرولوژی حوضه

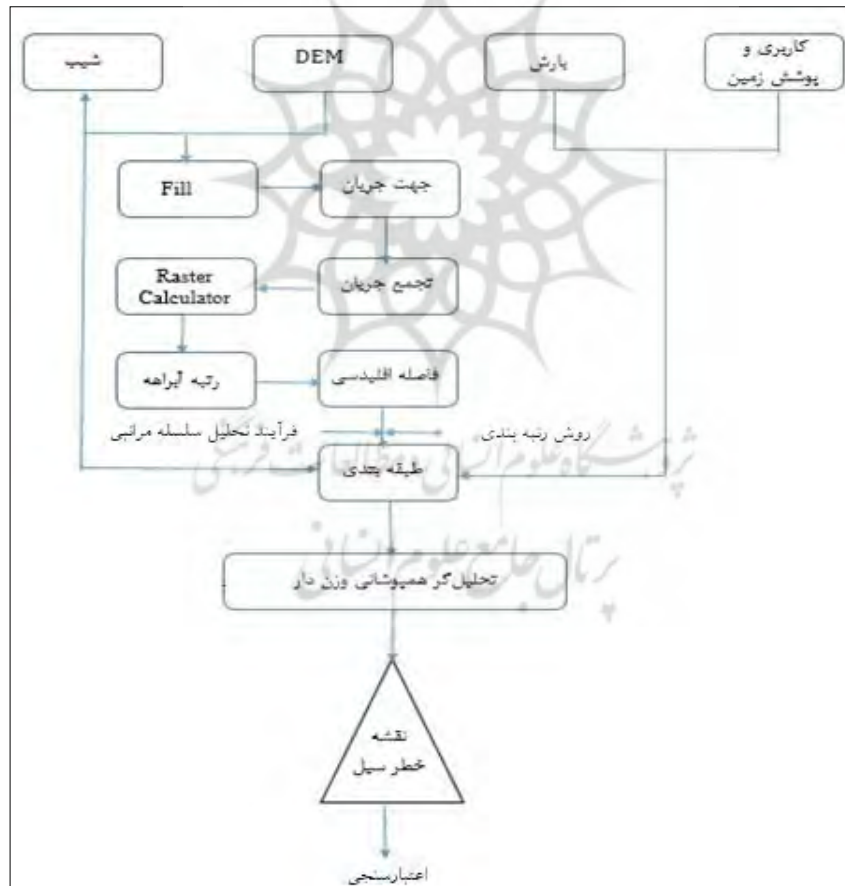
این حوضه حدود $14/5$ درصد از حوضه شهرود و $1/25$ درصد از حوزه آبخیز سفیدرود را در بر می‌گیرد. در این حوضه زهکش اصلی یعنی الموت رود، که از ارتفاعات 3700 متری در شرق و شمال شرق روستای اوتر سرچشمۀ می‌گیرد، در جهت شرق به غرب جریان دارد و شاخه‌های فرعی آن عمده‌تاً با جهت کلی شمالی و جنوبی (تقریباً به موازات یکدیگر) به آن می‌پیوندند. حوضه الموت رود تقریباً به صورت یک شبکه شاخه درختی است که الموت رود زهکش یا رودخانه اصلی است که آبراهه‌های فرعی به صورت شبکه‌هایی هم گرا به آن می‌پیوندند. روستاهای مختلفی در بخش الموت شرقی و غربی و در امتداد شاخه‌های اصلی و فرعی واقع شده‌اند. براساس آمار هیدرومتری ایستگاه با غکلای- وزارت نیرو مقدار متوسط حجم آب جریان یافته در رودخانه الموت رود $348/73$ میلیون مترمکعب و ارتفاع بارندگی معادل آن برابر با $561/57$ میلی‌متر برآورد شده است.



ت ۱. تغییرات دبی متوسط سالانه و دبی پیک لحظه‌ای حوزه آبخیز الموت رود بین سال‌های 1353 تا 1396

تهیه لایه‌های موضوعی

همان طور که در تصویر شماره ۲ نشان داده شده است، در این مطالعه از یک تکنیک AHP مبتنی بر GIS برای تولید نقشه حساسیت به سیل استفاده شده است. داده های این مطالعه از منابع مختلفی مانند سازمان های دولتی و تصاویر ماهواره ای برای ترسیم مناطق مختلف خطر سیل در حوزه آبخیز الموت رود به دست آمده است. وضوح ۳۰ متری یک مدل ارتفاعی دیجیتال (DEM) که از پایگاه داده آنلاین USGS به دست آمده و در نرم افزار ArcGIS Pro نسخه ۳/۱ برای ترسیم نقشه های حوزه آبخیز الموت و تهیه نقشه ارتفاع پردازش شده است. نقشه های موجود در تصویر



۲. مراحل به کار پرده شده برای تهیه نقشه خطر سیلان حوزه آبخیز الموت رود

ج ۱. مقیاس Saaty برای تعیین وزن

شدت اهمیت	تعرب
۱	اهمیت برابر
۲	اهمیت برابر تا متوسط
۳	اهمیت متوسط
۴	اهمیت متوسط تا قوی
۵	اهمیت قوی
۶	اهمیت قوی تا خیلی قوی
۷	اهمیت خیلی قوی
۸	اهمیت خیلی قوی تا فرق العاده قوی
۹	اهمیت فرق العاده قوی

این روش طی سالیان اخیر، به‌طور فزاینده‌ای در مدیریت سیلاپ به کار گرفته می‌شود؛ چراکه مطالعات متعددی کارایی و قابلیت اعتماد بالای این روش را در مناطق مختلف جهان به اثبات رسانده‌اند. از آن میان می‌توان به نمونه‌های زیر اشاره کرد:

تحقیق صورت‌گرفته در منطقه Eldoret Municipality کنیا، AHP را برای تعیین مناطق آسیب‌پذیر در مقابل سیلاپ به کار گرفت و بر اساس فرایند اعتبارسنجی مشخص شد نتایج مبتنی بر AHP-GIS در مقایسه با نتایج شبیه‌سازی HEC-RAS

تجزیه و تحلیل تصمیم‌گیری چند معیاره: فرایند تحلیل سلسله‌مراتبی (AHP)

وزن پارامترها را می‌توان با بهره‌گیری از تکنیک AHP یعنی آنالیز تصمیم‌گیری چند معیاره، اختصاص داد. روش AHP مسئله را در قالب یک مدل سلسله‌مراتبی با تقلید از مفاهیم پیچیده مغز انسان برای دستیابی به تصمیم درست بر اساس اطلاعات موجود به بخش‌هایی تقسیم می‌کند. فرایند مقایسه زوجی بخش اصلی تکنیک AHP است که اعدادی را برای نمایش اطلاعاتی جهت تعیین وزن هر پارامتر اختصاص می‌دهد. مقادیر و معیارهای پارامترها برای نشان دادن اهمیت نسبی بین دو پارامتر ارائه می‌شوند. مرحله بعدی محاسبه میانگین وزنی حسابی برای به دست آوردن مقدار ویژه است. هدف از این فرایند، اندازه‌گیری وزن‌ها در یک ماتریس مقایسه زوجی است. وزن هر پارامتر در یک ماتریس مقایسه زوجی با استفاده از رویکرد ردیف میانگین تعیین می‌شود.

یافته‌ها

چهار مرحله برای حصول نتایج این مطالعه و تهیه نقشه نهایی طی شده است. اولین مرحله تهیه یک ماتریس مقایسه زوجی است که وزن هر پارامتر به عنوان نتیجه از آن حاصل می‌شود. بخش دوم، تهیه نقشه‌های موضوعی است که نقشه‌های پارامترهای اثرگذار بر سیلاپ را به همراه نتایج امتیازات رتبه‌بندی هر کلاس پارامتر نشان می‌دهد. بخش سوم، تخمین مکانی خطر سیلاپ از طریق نقشه حساسیت‌پذیری سیلاپ حوزه الموت‌رود و بخش آخر، ارزیابی نقشه حساسیت‌پذیری به سیلاپ است. نتایج انجام هر بخش و نتیجه در ادامه ارائه شده است.

ماتریس مقایسه زوجی

AHP که در سال ۱۹۹۰ توسط سآاتی توسعه داده شد

دقت ۹۲ درصدی داشتند (Ouma & Tateishi, 2014). به طور مشابه، در مطالعه صورت گرفته برای حوزه آبخیز رودخانه یاسوج در ایران، از AHP برای شناسایی مناطق دارای پتانسیل وقوع مخاطره سیلاب استفاده شد، اعتبارسنجی این مدل در مقابل نتایج مناطق آب گرفته شبیه‌سازی شده با مدل HEC-RAS نشان‌دهنده قابلیت United States Department of Agriculture, 2018 در مالزی که از AHP برای تولید نقشه مناطق حساسیت‌پذیر به سیلاب استفاده کرده بود، شباهت معنی‌داری بین این نقشه و نقشه سیلاب اصلی تهیه شده توسط دپارتمان آبیاری و زهکشی یافت (Elsheikh et al., 2015).

از جمله مزیت‌های روش AHP، مناسب بودن آن برای تصمیم‌گیری گروهی، کارکرد آن با هر دو داده‌های کمی و کیفی، یافتن پاسخ توسط ذی‌فعان از طریق سؤالات زوجی، پیکربندی سلسه‌مراتبی معیارها، فراهم کردن امکان ارزیابی ترجیح اولویت و ارائه روشی برای حمایت سطحی از قضاوت پایدار از طریق پیشینه نظری، است. مقایسه زوجی، وزن هر یک از پارامترهای ایجاد کننده سیلاب را برای یک روش AHP تعیین حساسیت سیلاب ارائه می‌دهد. نتایج میانگین حسابی وزنی نیز در جدول شماره ۲ نشان داده شده است.

ج ۲. مقادیر وزن و رتبه‌بندی نرمال شده پارامترهای مؤثر بر سیلاب

تعريف	فاصله	کاربری	شب	بارش
وزن	۰/۳۲	۰/۱۷	۰/۲۳	۰/۲۸

نقشه‌های موضوعی

مجموع چهار نقشه موضوعی تأثیرگذار بر سیلاب (تصویر شماره ۳) به همراه توضیحاتی در خصوص هر پارامتر در ادامه مورد بحث قرار گرفته است.

۱. فاصله از رودخانه (فاصله اقلیدسی): نقشه‌های موضوعی ایجاد شده و به تصویر رستری تبدیل شدند (تصویر شماره ۳). بر اساس ویژگی‌های منطقه فاصله از رودخانه با وزن نرمال شده ۰/۳۲، تأثیرگذارترین عامل برای وقوع سانحه سیلاب در منطقه مورد مطالعه در نظر گرفته شده است.

۲. بارش: منطقه مورد مطالعه به ترتیب دارای حداقل، حداقل و متوسط بارش بلندمدت سالیانه ۳۰۰، ۸۰۰ و ۲۹۵ میلی‌متر است. وزن نرمال شده اختصاص داده شده به معیار بارش ۰/۲۸ است.

۳. شب: منطقه به ترتیب دارای حداقل، حداقل و متوسط شب، ۰، ۷۱ و ۲۴ درصد است. شب دارای وزن ۰/۲۳ برای این منطقه است.

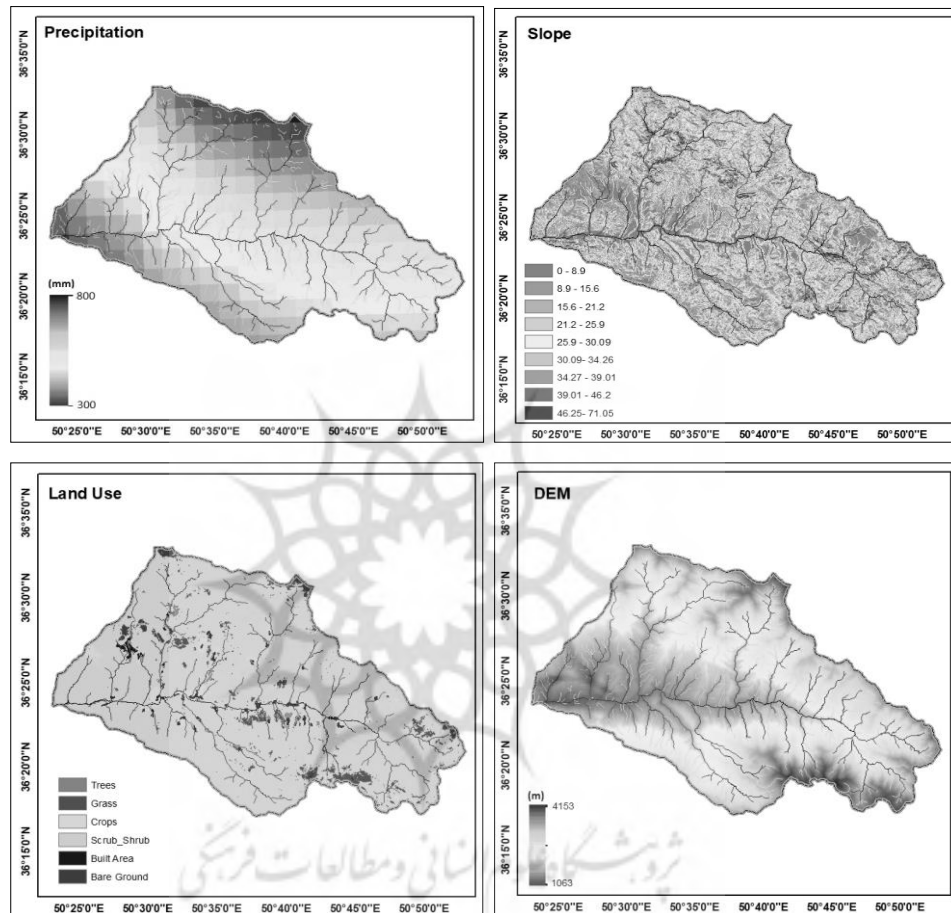
۴. کاربری زمین: نقشه کاربری اراضی الموت رود نیز در تصویر شماره ۳ ارائه شده است، وزن نرمال شده اختصاص داده شده به این نقشه ۰/۱۷ است.

تهیه نقشه حساسیت به سیلاب

همه نقشه‌های پارامترهای مؤثر بر سیلاب با استفاده از تکنیک جای‌گذاشت در نرمافزار ArcGIS Pro نسخه ۳/۱ برای تولید نقشه حساسیت‌پذیری منطقه مورد مطالعه به سیلاب ترکیب شدند. پارامترها با استفاده از روش ترکیب خطی وزن با توجه به وزن و رتبه هر پارامتر روی هم قرار داده شدند. نقشه حساسیت‌پذیری سیلاب منطقه مورد مطالعه با استفاده از روش شکست طبیعی (Jenks) در پنج سطح مختلف خیلی کم، کم، متوسط، زیاد و خیلی زیاد طبقه‌بندی شد. سطوح حساسیت مکانی به سیلاب عبارت اند از: سیلاب خیلی زیاد (۷/۳ درصد)، سیلاب زیاد (۸/۲ درصد)، سیلاب متوسط (۷۳/۴ درصد)، سیلاب کم (۶/۴ درصد) و سیلاب خیلی کم (۴/۷ درصد) که در سراسر منطقه مورد مطالعه توسعه یافته در تصویر شماره ۴ نشان داده

تیره روی نقشه نشان دهنده حساسیت بسیار کم سیلاب است که در مناطق مرتفع شمال، شمال غربی و شمال شرقی منطقه موردمطالعه پراکنده است که در تصویر شماره ۴ نشان داده شده است.

شده است. سیلاب زیاد عمدتاً در امتداد رودخانه رتبه ۴ و ۵ و در محدوده دشت سیلابی در قسمت‌های نزدیک به خروجی جریان متمرکز شده که در یک منطقه قرمز روی نقشه نشان داده شده است. در مقابل، مناطق آبی



ت ۳. نقشه‌های پایه جهت تولید نقشه حساسیت‌پذیری به سیلاب حوزه آبخیز الموت‌رود

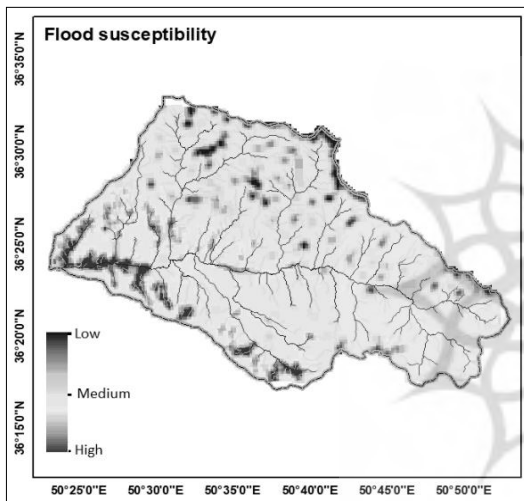
تخمین صحیحی از مناطق سیلابی و غیرسیلابی را در مقایسه با داده‌های مشاهده شده نشان می‌دهد. نقشه بر اساس آزمون صورت گرفته دارای دقت ۷۰ درصد است.

بحث

اگرچه روش AHP برای نقشه‌برداری حساسیت به سیل در حوضه الموت‌رود با موفقیت به کار گرفته شد، اما نکات، عدم قطعیت‌ها و محدودیت‌هایی وجود دارد که باید برای مطالعه موردنظره قرار گیرند. اولین نکته

ارزیابی نقشه حساسیت‌پذیری به سیلاب نقشه حساسیت‌پذیری به سیلاب از نظر صحت و قابلیت اعتماد با داده‌های سیلاب تاریخی گردآوری شده در منطقه موردمطالعه و بهره‌گیری از روش ارزیابی آماری ماتریس درهم ریختگی^۵ مورد مقایسه و ارزیابی قرار گرفته است. آمار دبی و سیلاب‌های منطقه موردمطالعه از وزارت نیرو- مرکز تحقیقات منابع آب برای سال‌های ۱۳۹۶-۱۳۵۳ اخذ شده است. دقت نقشه

قابل بحث، انتخاب پارامترهای ایجادکننده سیلاب برای تجزیه و تحلیل AHP است که متأثر از نظر کارشناسی، مطالعات صورت گرفته در مناطق مشابه و در دسترس بودن داده‌ها و اطلاعات است. پارامترهای مختلفی در مطالعات مختلف تعیین حساسیت سیلاب با استفاده از AHP مورداستفاده قرار گرفته‌اند. فهرست متفاوتی از پارامترها می‌توانند برای تعیین حساسیت پذیری سیلاب با توجه به ویژگی‌های فیزیکی خاص هر حوضه و همچنین جنبه‌های اجتماعی و اقتصادی آن تعیین شود. پارامترهای ایجادکننده سیل، بسته به منطقه مورد مطالعه و کیفیت و کمیت اطلاعات در دسترس متغیر هستند. آن‌ها را می‌توان در دسته‌بندی‌هایی از قبیل پارامترهای هیدروگرافی / مورفومتریکی (فاصله از رودخانه، تراکم زهکشی، ارتفاع، شیب، لندرفرم، شاخص زیری و ...)، هیدرولوژیکی (بارش، ژئومرفولوژی، شاخص قدرت آبراهه، ارتفاع، CN و ...)، نفوذپذیری (زمین‌شناسی، نوع خاک، رطوبت خاک)، شاخص رطوبت توپوگرافی، شاخص فرسایش‌پذیری خاک، شاخص فرسایندگی باران و ...)، دینامیکی (کاربری اراضی، شاخص پوشش گیاهی / NDVI و ...) و حتی مداخلات انسانی (تراکم جمعیت، مناطق غیرقابل نفوذ انسان‌ساخت، فاصله از جاده و ...) دسته‌بندی کرد. مطالعات نشان می‌دهد، بیشتر بودن تعداد پارامترهای مورداستفاده برای تحلیل، لزوماً منجر به افزایش دقت نقشه خروجی نخواهد شد (Rincón et al., 2018). در این تحقیق، چهار پارامتر در ایجاد سیلاب مورداستفاده قرار گرفته‌اند: فاصله از رودخانه، شیب، ارتفاع، بارش. سه پارامتر اول ساکن در نظر گرفته شده و پارامتر کاربری اراضی دینامیک، بدین معنی است که در طول زمان تغییر می‌کند. هر چند برخی مطالعات بسته به منطقه مورد مطالعه، بارندگی را نیز معياری دینامیک در نظر می‌گیرند. اما از آنجایی که



ت ۴. نقشه تولیدشده حساسیت‌پذیری به سیلاب حوزه آبخیز الموت رود

نتیجه

تعیین حساسیت‌پذیری به سیلاب با استفاده از فرایند تحلیل سلسله‌مراتبی (AHP) در ارزیابی مناطق آسیب‌پذیر در برابر سیلاب‌های مکانی در حوضه الموت رود، موفق عمل می‌کند. AHP روشه مقرن‌به‌صرفه و مناسب به لحاظ صرف زمان موردنیاز جهت مطالعه است. بهره‌گیری از کمترین ورودی و در عین حال به دست آوردن بهترین خروجی با کمترین عدم قطعیت هدف عمده مطالعات علمی در حوزه‌های

پی‌نوشت

1. Post Disaster Need Assessment
2. Saaty
3. Flow Accumulation
4. Topographic Wetness Index (TWI)
5. confusion matrix

فهرست منابع

- رضوی ترمه، سید وحید؛ پورقاسمی، حمیدرضا؛ علی دادگان فرد، فاطمه. (۱۳۹۷). تهیه نقشه پتانسیل سیل گیری با استفاده از روش های تصمیم گیری تحلیل سلسله مراتبی و تاپسیس و مدل آماری وزن واقعه (مطالعه موردی: شهرستان جهرم، استان فارس)، پژوهشنامه مدیریت حوزه آبخیز، سال ۹ شماره ۱۷.
- عقیلی، نجمه؛ لشکری پور، غلامرضا؛ حافظی مقدس، ناصر. (۱۳۹۷). پنهانی خطر سیلاب با استفاده از AHP و GIS در حوزه آبخیز گلورد نکا، نخستین کنفرانس ملی نقش مهندسی عمران در کاهش مخاطرات.
- غلامی، محمد؛ احمدی، مهدی. (۱۳۹۸). ریزپنهانی خطر سیلاب در شهر لامرد با استفاده از AHP و GIS و منطق فازی. مجله مخاطرات محیط طبیعی، دوره ۸، شماره ۲۰.
- قبری نسب، علی؛ عسگری، امید؛ هاشمی فسایی، ابراهیم؛ حسینی، سید محمد. (۱۴۰۱). ارزیابی آسیب‌پذیری شهری در برای خطر سیلاب با استفاده از روش بهترین - بدترین میتی برش. فصلنامه علمی-پژوهشی مدیریت بحران. شماره ۲۲.
- Al-Suhili, R., Cullen, C., Khanbilvardi R. 2019, An urban flash flood alert tool for megacities Application for Manhattan, New York City, USA. *Hydrology*. 6(2).
- Büchele, B., et al. 2006. Flood-risk mapping: contributions towards an enhanced assessment of extreme events and associated risks. *Natural Hazards and Earth System Sciences* No.6, PP: 485–503.
- Demir, V and Kisi, O, 2016, Flood hazard mapping by using geographic information system and hydraulic model: Mertriver, samsun, turkey, *Advances in Meteorology*, pp, 1-9.
- Dehghani M, Abbasnejad A, Negarestan H., 2016. Assessment of Flood Hazard and its Zoning in Baft Plain (South East Part of Iran), *Geography and Territorial Spatial Arrangement*. 6: 141-152. [Persian].
- Das S. 2018, Geographic information system and AHP-based flood hazard zonation of Vaitarna basin, Maharashtra, India. *Arabian Journal of Geosciences*. 11(19).
- Dano UL. 2020, Flash flood impact assessment in Jeddah city: An analytic hierarchy process approach. *Hydrology*. 7(1).
- ESCAP, 2019, APDIM and Tehran University, Build

مختلف است. از این‌رو، با توجه به کیفیت و کمیت داده‌های در دسترس در منطقه مورد مطالعه، چهار پارامتر مورفومنتریکی (فاصله از رودخانه و شیب)، هیدرولوژیکی (بارش)، دینامیکی (کاربری اراضی) به عنوان پارامترهای ایجادکننده سیلاب در الموت رود تعیین و مورداستفاده قرار گرفتند. بالاترین وزن نرمال شده در این مطالعه، فاصله از رودخانه و پس از آن به ترتیب بارش، شیب و کاربری اراضی است. نتیجه نشان می‌دهد که $7/3$ درصد از کل منطقه مورد مطالعه به عنوان یک منطقه با پتانسیل سیلاب بسیار بالا در پایین دست و حوالی تجمع جریان‌های شبکه زهکشی حوضه بالادست و در دشت سیلابی شناسایی شده است. همچنین $8/2$ درصد تحت پوشش مناطق مستعد سیلاب زیاد، $73/7$ درصد تحت پوشش مناطق مستعد سیلاب متوسط، $6/4$ درصد تحت پوشش مناطق مستعد سیلاب کم و $4/7$ درصد تحت پوشش مناطق مستعد سیلاب بسیار کم هستند. سیلاب رودخانه‌ای نوع غالب سیلاب در منطقه مورد مطالعه است، زیرا بالاترین وزن در حساسیت به سیلاب مربوط به پارامتر فاصله از رودخانه است. نقشه حساسیت‌پذیری به سیلاب در مقایسه با داده‌های تاریخی سیلاب و با استفاده از ارزیابی آماری ماتریس درهم‌ریختگی نشان‌دهنده دقت 70 درصدی است. روش AHP برای ترسیم حساسیت به سیلاب حوضه الموت رود به خوبی عمل می‌کند و می‌تواند در حوضه‌های دیگر مورداستفاده قرار گیرد. با این حال، تنظیم پارامترها برای کاهش عدم قطعیت‌های احتمالی مرتبط با منطقه مورد مطالعه و کیفیت و کمیت داده‌های در دسترس توصیه می‌شود. این روش می‌تواند برای سایر مطالعات چند معیاره مانند مطالعه خشکسالی، ارزیابی پتانسیل آب‌های زیرزمینی و غیره نیز به کار گرفته شود.

- vulnerability and risk mapping using integrated multi-parametric AHP and GIS: Methodological overview and case study assessment. *Water (Switzerland)*. 6(6):1515-45.
- Penki R., Basina S.S., and Tanniru, S.R , 2022, Application of Geographical Information System-Based Analytical Hierarchy Process Modeling for Flood Susceptibility Mapping of Krishna District in Andhra Pradesh, <https://doi.org/10.21203/rs.3.rs-1399020/v1>
 - Rincón D, Khan UT, 2018, Armenakis C. Flood Risk Mapping Using GIS and Multi-Criteria Analysis: A Greater Toronto Area Case Study. *Geosciences*. 8(8):275.
 - Seejata K, Yodying A, Wongthadam T, Mahavik N, Tantanee S, editors. Assessment of flood hazard areas using Analytical Hierarchy Process over the Lower Yom Basin, Sukhothai Province. *Procedia Engineering*; 2018.
 - Saaty TL. The Analytic Hierarchy Process. New York: McGraw-Hill; 1980.
 - Saaty TL. 1990, How to make a decision: The analytic hierarchy process. *European Journal of Operational Research*. 48(1):9-26.
 - Samanta S, Koloa C, Pal DK, Palsamanta B. 2016, Flood risk analysis in lower part of Markham river based on multi-criteria decision approach (MCDA). *Hydrology*. 3(3).
 - Tehrany MS, Lee MJ, Pradhan B, Jebur MN, Lee S., 2014. Flood susceptibility mapping using integrated bivariate and multivariate statistical models. *Environ Earth Sci*. 71 (10): 4001- 4015.
 - United States Department of Agriculture. Urban Hydrology for Small Watersheds Technical Release 55. Natural Resources Conservation Services. Conservation Engineering Division; 1986. Available online:
https://www.nrcs.usda.gov/Internet/FSE_DOCUMENTS/stelprdb1044171.pdf (accessed on 26 July 2018).
 - Vojtek M, Vojteková J. 2019, Flood Susceptibility Mapping on a National Scale in Slovakia Using the Analytical Hierarchy Process. *Water*. 11(2):364.
 - Winsemius HC, Aerts Jeroen CJH, van Beek Ludovicus PH, Bierkens Marc FP, Bouwman A, Jongman B, et al. 2016, Global drivers of future river flood risk. *Nature Climate Change*. 6(4):381-5.
 - Wang Y, Li Z, Tang Z, Zeng G. 2011, A GIS-Based Spatial Multi-Criteria Approach for Flood Risk Assessment in the Dongting Lake Region, Hunan, Central China. *Water Resources Management*. 25(13):3465-84.
 - Yahaya S, Ahmad N, Abdalla R. 2010, Multicriteria analysis for flood vulnerable areas in Hadejia Jama'are River basin, Nigeria. *European Journal of Scientific Research ISSN*. 42:1450-216.
 - Yang j., R D Townsend and B. Daneshfer, 2006, Floodplain Visualization using TINS, Center for in river network floodplain delineation", *Can. J. Civ. Eng. No: 33*, pp: 19-28.
 - Elsheikh, R.F.A.; Ouerghi, S.; Elgah, A.R. 2015, Flood Risk Map Based on GIS, and MultiCriteria Techniques (Case Study Terengganu Malaysia). *J. Geogr. Inf. Syst.*, 7, 348–357.
 - Forkuo EK. 2011, Flood Hazard Mapping using Aster Image data with GIS. *Int J Geomat Geosci*.1.
 - Gigovic L, Pamučar D, Bajić Z, Drobnjak S. 2017. Application of GIS-Interval Rough AHP Methodology for Flood Hazard Mapping in Urban Areas. *Water*. 9:1-26.
 - Hirabayashi Y, Mahendran R, Koitala S, Konoshima L, Yamazaki D, Watanabe S, et al. 2013, Global flood risk under climate change. *Nature Climate Change*. 3(9):816-21.
 - Hong H, Tsangaratos P, Ilia I, Liu J, Zhu AX, Chen W. 2018, Application of fuzzy weight of evidence and data mining techniques in construction of flood susceptibility map of Poyang County, China. *Science of The Total Environment*. 625:575-88.
 - Khalilizadeh M, Mosaedi A, Najafinejad A., 2005. Flood hazard zonation in a part of Ziarat river in Gorgan urban watershed. *J.Agric.Sci. Natur. Resour.* 12 (4): 138-146. [Persian].
 - Knebl, M.R., Yang, Z.L., Hutchison, K., Maidment, D.R. 2005. Regional Scale Flood Modeling using NEXRAD, Rainfall, GIS, and HEC-HMS|RAS: A Case Study for the San Antonio River Basin Summer 2002 Storm Event. *Journal of Environmental Management*. 75: 325-336.
 - Kaliraj S, Chandrasekar N, Magesh NS. 2014, Identification of potential groundwater recharge zones in Vaigai upper basin, Tamil Nadu, using GIS-based analytical hierarchical process (AHP) technique. *Arabian Journal of Geosciences*. 7(4):1385-401.
 - Kazakis N, Kougias I, Patsialis T. 2015, Assessment of flood hazard areas at a regional scale using an index-based approach and Analytical Hierarchy Process: Application in Rhodope- Evros region, Greece. *Science of The Total Environment*. 538:555-63.
 - Komi K, Amisigo BA, Diekkrüger B. 2016, Integrated flood risk assessment of rural communities in the Oti River basin, West Africa. *Hydrology*. 3(4).
 - Lappas I, Kallioras A. 2019, Flood Susceptibility Assessment through GIS-Based Multi-Criteria Approach and Analytical Hierarchy Process (AHP) in a River Basin in Central Greece, *International Research Journal of Engineering and Technology (IRJET)*, Volume: 06 Issue: 03.
 - Lagmay AMF, Racoma BA, Aracan KA, Alconis-Ayco J, Saddi IL. 2017, Disseminating near- real-time hazards information and flood maps in the Philippines through Web-GIS. *Journal of Environmental Sciences*.59:13-23.
 - Montz BE, Grunfest E. 2002, Flash flood mitigation: Recommendations for research and applications. *Environmental Hazards*. 4(1):15-22.
 - Majumer, M. 2015, Multi Criteria Decision Making. In Impact of Urbanization on Water Shortage in Face of Climatic Aberrations; Springer: New York, NY, USA, pp. 35–48, ISSN 2194 7244.
 - Ouma YO, Tateishi R. 2014, Urban flood